

**RESTOS HUMANOS DEL BARRANCO DE GÓMEZ
Y DEL LOMO DE LOS GRANADOS
(SAN NICOLÁS DE TOLENTINO, GRAN CANARIA)**

P O R

M. GARCÍA SÁNCHEZ

y

S. A. JIMÉNEZ BROBEIL *

En este trabajo estudiamos los restos humanos hallados en un túmulo en el Barranco de Gómez y los descubiertos en el del Lomo de los Granados. Estos enterramientos complementan a los hallados en el túmulo de Los Caserones como una aportación más al estudio de la población prehispánica de San Nicolás de Tolentino (García Sánchez, 1977-79; García, Jiménez y Del Arco, 1980).

EL MATERIAL ESTUDIADO

Hemos estudiado un individuo procedente del Barranco de Gómez (BG) y tres del Lomo de los Granados, cuyo estado de conservación resulta algo deficiente. Para la observación de los caracteres métricos hemos utilizado las técnicas de Martin (1957), salvo cuando se exprese otro procedimiento. Para el diagnóstico de sexo y edad hemos seguido las recomendaciones de Ferembach, Schwidetzky y Stloukal (1979).

* Laboratorio de Antropología, Universidad de Granada.

Enterramiento del Barranco de Gómez

Corresponde a un varón de edad madura, de cuyo cráneo se conservan la bóveda y un fragmento de cuerpo mandibular. El decurso de las suturas es complicado (grado 4 de Broca). Sinóstosis completa de toda la región del pterio, de C³ y de la ttemporo-parietal; iniciada en S² y L¹ y abiertas las restantes en la tabla externa, aunque están cerradas en la interna.

El cráneo es grande (cuadro 1), aristencéfalo, con mediano espesor de los huesos de la bóveda y relieves de inserciones musculares acusados, en consonancia con el sexo. En norma superior, el contorno es pentagonoide, con protuberancias frontales acusadas y gran anchura frontal, bolsas parietales redondeadas y salientes y occipucio estrecho. Mesocráneo por el índice cefálico, aunque más próximo a la braquicránea.

CUADRO NÚM. 1

MEDIDAS ABSOLUTAS E ÍNDICES DEL NEUROCRÁNEO

	B.G.-♂	L.G.-1 ♂	L.G.-2 ♀	L.G.-3
Longitud máxima	188?	—	177	118
Longitud de la base	—	—	94	94
Anchura máxima	147	139	140	132
Anchura frontal mínima	—	100	91	87
Anchura frontal máxima	127	118	119	110
Anchura biastérica	104	—	112	95
Altura basio-bregma	141	—	131	130
Altura auricular	115,5	—	103,6	111,6
Módulo craneal	158,7	—	149,3	146,7
Perímetro horizontal	524?	—	510	490
Arco transversal	318	—	297	305
Arco sagital total	391?	—	366	367
Arco sagital frontal	140?	125	127	128
Arco sagital parietal	139	—	135	123
Arco sagital occipital	112	—	104	116
Arco sagital de la escama	55	—	48	58
cuerda sagital frontal	122?	112	111	109
Cuerda sagital parietal	121	—	117	111
Cuerda sagital occipital	97	—	91	99
Cuerda sagital de la escama	53	—	46	56
Capacidad (Pearson)	1524,40	—	1259,10	1316,43
I. cefálico	78,19?	—	79,10	74,16

	B.G.-♂	L.G.-1 ♂	L.G.-2 ♀	L.G.-3
I. vértico-longitudinal	75,00?	—	74,01	73,03
I. vértico-transversal	95,92	—	93,57	98,48
I. aurículo-longitudinal	61,44?	—	58,53	62,70
I. aurículo-transversal	78,57	—	74,00	84,54
I. transverso frontal	—	84,74	76,47	79,09
I. transv. fronto-parietal	—	71,94	65,00	65,91
I. transv. parietal-occipital	70,75	—	80,00	71,97
I. sagital total (Mollison)	—	—	389,36	390,42
I. sagital frontal	87,14?	89,60	87,40	85,16
I. sagital parietal	87,05	—	86,67	90,24
I. sagital occipital	86,61	—	87,50	85,34
I. sagital de la escama	96,36	—	95,83	96,55

?) Medida dudosa.

Perfil sagital curvilíneo, inclinado en la región frontal, curvado en el vértex, con ligero aplanamiento prelambdico y occipicio redondeado y poco saliente, con región subninaica abombada (fig. 1a). Arcos superciliares bien desarrollados, crotáfites marcadas y altas, pterio en H, mastoides robustas y con cresta supramastoidea acusada. Inio fuerte (tipo 3 de Broca) y líneas nucales de marcado desarrollo. Hipsicráneo por el índice vértico-longitudinal y ortocráneo, tendente a la hipsicránea, por el aurículo-longitudinal.

En norma anterior, la frente es ancha e inclinada, con protuberancias frontales acusadas, altas y separadas. Conserva sueltos el I¹, I² y M¹ derechos, éste con desgaste intenso.

El contorno de la bóveda en norma posterior es domiforme, con protuberancias parietales acusadas y altas. Metriocráneo, tendiendo a la acrocráneo, según el índice vértico-transversal y tapinocráneo acusado por el aurículo-transversal. Inio y líneas nucales fuertes. Presenta tres huesos wormianos de tamaño mediano en la sutura lambdoidea.

CUADRO NÚM. 2
MEDIDAS ABSOLUTAS E ÍNDICES DEL ESPLACNOCRÁNEO

	L.G.-1 ♂	L.G.-2 ♀	L.G.-3
Longitud de la cara	—	95?	83
Anchura bicigomática	—	117*	107*?
Altura total de la cara	—	107	92
Altura de la cara superior	—	68?	57
Altura de la órbita	35 d	33 d	30
Anchura de la órbita	42? d	38 d	37
Anchura interorbitaria	—	20	18
Anchura biorbitaria	99*	93*	86
Altura nasal	—	51,5	43,5
Anchura nasal	—	23*	22,5
Longitud máxilo-alveolar	—	—	44
Anchura máxilo-alveolar	—	—	59
Longitud del paladar	—	—	35
Anchura del paladar	—	—	34
Altura de la mastoides (d)	—	29	22
Anchura de la mastoides (d)	—	44	37
Ángulo de Weisbach	—	68°?	82°
I. facial total	—	91,45	85,98?
I. facial superior	—	58,12?	53,27?
I. orbitario	83,33? d	86,84 d	81,08
I. interorbitario	—	21,50	20,93
I. nasal	—	44,66	51,72
I. máxilo-alveolar	—	—	134,09
I. palatino	—	—	97,14
I. gnático de Flower	—	101,06?	88,30
I. fronto-cigomático	—	77,78	81,31
I. gonio-cigomático	—	77,78	70,09
I. transv. cráneo-facial	—	83,57	81,06?

?) Medida dudosa.

*) Medida tomada por simetría.

d) Medida tomada en el lado derecho.

En norma inferior, el agujero occipital es ancho y de forma elíptica y las cavidades glenoideas resultan grandes, anchas y profundas. La mandíbula es débil y conserva *in situ* los premolares del lado derecho. Suelto figuran los cuatro incisivos, los premolares izquierdos, dos M₁ y un M₂. El desgaste de los molares es intenso (grado 3 de Broca).

CUADRO NÚM. 3
MEDIDAS ABSOLUTAS E ÍNDICES DE LA MANDÍBULA

	<i>B.G.-♂</i>	<i>L.G.-1 ♂</i>	<i>L.G.-2 ♀</i>	<i>L.G.-3</i>
Longitud mandibular	—	—	—	85?
Anchura bicondílea	—	—	—	101
Anchura bigoniáca	—	—	91	75
Altura de la sínfisis	—	—	29	24
Altura del cuerpo (a.m.)	32	32	29	25
Espesor del cuerpo (a.m.)	11,5	12,5	12	11
Altura de la rama	—	—	—	41 d
Anchura de la rama	—	31 d	29,5	30
I. mandibular	—	—	—	84,16?
I. gonio-condíleo	—	—	—	74,26
I. de robustez	35,94	39,06	41,38	44,00
I. de la rama	—	—	—	73,17

?) Medida dudosa.

d) Medida tomada en el lado derecho.

Del esqueleto postcraneal, la *clavícula* se caracteriza por perímetro central grande y extremidad externa ancha, con aplanamiento del cuerpo del hueso (cuadro 4). Las impresiones musculares y ligamentosas están bien desarrolladas. El *húmero* posee una longitud máxima grande y un perímetro mediano, resultando un índice de robustez pequeño. El índice diafisario se clasifica en la platibraquia y la V deltoidea está bien desarrollada. Los *radios* tienen perímetro mínimo mediano y el índice diafisario es elevado. Están bien desarrolladas la tuberosidad bicipital y la cresta interósea. Los *cúbitos* poseen, asimismo, un perímetro mínimo mediano, se clasifican en la eurolenia y tienen un fuerte desarrollo de la cresta interósea.

CUADRO NÚM. 4
 MEDIDAS ABSOLUTAS E ÍNDICES DE LA CLAVÍCULA
 Y DEL MIEMBRO SUPERIOR

	B.G.-♂		L.G.-1 ♂		L.G.-2 ♀	
	(d)	(i)	(d)	(i)	(d)	(i)
<i>Clavícula</i>						
Perímetro central	40	39	—	—	33	34
Diám. vertical central	11	11	—	—	10	10
Diám. sagital central	13	13,5	—	—	11	11
Índice diafisario	84,62	81,48	—	—	90,91	90,91
<i>Húmero</i>						
Longitud máxima	337,4*	—	—	—	—	308*
Longitud total	333,4?	—	—	—	—	305
Perímetro mínimo	65	62	—	62	58	55
Diám. máximo central	25	—	—	22	22,5	21,5
Diám. mínimo central	18	17	—	17,5	14	14
Anch. epífisis distal	—	—	—	—	—	53
Índice de robustez	19,26	—	—	—	—	17,86
Índice diafisario	72,00	—	—	79,54	62,22	65,12
<i>Radio</i>						
Perímetro mínimo	44	43	38	—	—	—
Diám. transverso máximo	16	16	16	—	—	—
Diám. sagital mínimo	14	13	11	—	—	—
Índice diafisario	87,50	81,25	68,75	—	—	—
<i>Cúbito</i>						
Perímetro mínimo	—	35	—	—	—	—
Diám. transverso superior	22	22	—	—	—	—
Diám. sagital superior	25	24	—	—	—	—
Diám. transverso máximo	17,5	17	—	15	—	—
Diám. sagital mínimo	14	13	—	13	—	—
Índice de platolenia	88,00	91,67	—	—	—	—
Índice diafisario	80,00	76,47	—	86,67	—	—

*) Determinada por el método de Steele y McKern (1969).

?) Medida dudosa.

En el miembro inferior (cuadro 5), el *fémur* se caracteriza por su gran longitud y pequeño perímetro en mitad de la diáfisis, resultando, por tanto, un índice de robustez muy bajo. La pilastra femoral es de mediano desarrollo y el índice mérico

indica hiperplatimeria. Las inserciones musculares están bien desarrolladas. La *tibia* es de mediana longitud y pequeño perímetro mínimo. El índice cnémico se clasifica en la euricnemia, aunque próximo a la mesocnemia. Ambos ejemplares presentan carilla oriental lateral. Los *peronés* tienen un perímetro mínimo mediano y el índice diafisario denota cierto aplastamiento; muestran canaladuras.

CUADRO NÚM. 5
MEDIDAS ABSOLUTAS E ÍNDICES DEL MIEMBRO INFERIOR

	B.G.-♂		L.G.-1 ♂		L.G.-2 ♀	
	(d)	(i)	(d)	(i)	(d)	(i)
<i>Fémur</i>						
Longitud máxima	474	475	—	—	—	429
Longitud en posición	471	472	—	—	—	427
Perímetro central	85	84	93	93	86	85
Diám. transv. superior	32,5	32	33,5	33	30	29,5
Diám. sagital superior	23,5	23,5	25	26	23	23,5
Diám. transv. central	25	25	27	27	25	24,5
Diám. sagital central	29	28,5	32	32	30,5	30
Anch. biepicondílea	82	82	—	—	—	78
Índice de robustez	18,05	17,80	—	—	—	19,91
Índice mérico	72,31	73,44	74,63	78,79	76,67	79,66
Índice pilástrico	116,00	114,00	118,52	118,52	122,00	122,45
<i>Tibia</i>						
Longitud total	359	359	—	—	—	—
Longitud medial	354	355	—	—	—	—
Perímetro mínimo	70	71	—	—	75	72
Diám. transv. superior	26	25	—	24	25	23
Diám. sagital superior	36	36,5	—	33	36	34
Diám. transv. central	21	19,5	—	—	—	—
Diám. sagital central	30	31	—	—	—	—
Anch. epífisis distal	52	53	—	—	—	—
Índice de robustez	19,50	19,78	—	—	—	—
Índice cnémico	72,22	68,49	—	72,73	69,44	67,65
Índice diafisario	70,00	62,90	—	—	—	—
<i>Peroné</i>						
Longitud máxima	—	—	—	—	347	—
Perímetro mínimo	34	36	—	—	41	—
Diám. máximo central	14,5	13,5	—	—	20	—
Diám. mínimo central	11,5	13	—	—	13	—
Índice de robustez	—	—	—	—	11,82	—
Índice diafisario	79,31	96,30	—	—	65,00	—

Se conservan, además, ambos coxales fragmentarios, con escotadura ciática mayor muy cerrada, acetabulum muy grande, carilla auricular extensa y formando arco simple, lo que, unido al débil valor del índice cótilo-ciático (79,49), son claro indicio de pertenencia al sexo masculino.

Lomo de los Granados

L.G.-1

Es un varón adulto, inhumado en la cista central del túmulo, cuyo estado de conservación es muy deficiente.

La bóveda, reconstruida en parte, muestra las suturas abiertas en ambas tablas con diseño poco complicado (grado 3). El espesor de los huesos es algo fuerte y los relieves de inserciones musculares están bien desarrollados. En norma superior, la región frontal es ancha, muestra protuberancias parietales redondeadas y poco salientes y resulta intermedio por el índice transverso frontal y eurimetope por el transverso fronto-parietal.

En norma lateral, el frontal es inclinado, con nasio hundido, glabella tipo III de Martin y huesos nasales salientes; mastoides medianas y robustas, inio fuerte (tipo 3) y *torus* occipital. En norma anterior la frente es ancha, con arcos superciliares bien desarrollados. Órbita redondeada y mesoconca y malar fuerte y rugoso.

La mandíbula, en deficiente estado de conservación, carece de dientes; presenta reabsorción de los alvéolos de los incisivos centrales, de ambos M_1 y del M_2 derecho. El mentón es triangular, con tubérculos mentonianos laterales acusados y geni medianas. Cuerpo con borde sinuoso y de mediana robustez. Presenta *torus* mandibular a nivel de ambos P_1 .

Del esqueleto postcraneal se conservan fragmentos de costillas, las rótulas, nueve huesos del pie y las diáfisis de los huesos largos. El *húmero* (cuadro 4) tiene un perímetro mínimo mediano y el índice diafisario se clasifica en la euribraquia. El perímetro mínimo del *radio* es pequeño y el índice diafisario muy bajo. Por el contrario, el del *cúbito* resulta elevado.

Los *fémures* (cuadro 5) se caracterizan por un gran perímetro en el centro, pilastra media tendiendo a fuerte y platería acentuada. La *tibia* es euricnémica.

L.G.-2

Es una mujer adulta enterrada en la cista este del túmulo. El cráneo, en deficiente estado de conservación, tiene suturas poco complicadas, con sinóstosis completa de C³ y L¹, permaneciendo abiertas las restantes en la tabla externa. El cráneo es mediano, con fuerte espesor de los huesos de la bóveda y relieves de inserciones algo acusados. No obstante, los caracteres morfológicos restantes y las funciones discriminantes indican que se trata de un sujeto femenino.

El contorno de la bóveda es ovoide, con protuberancias frontales y parietales poco acusadas. Mesocráneo, esferometope acusado, estenometope y probablemente criptócigo, muestra una intensa plagiocefalia oblicua izquierda.

En norma lateral, el perfil sagital es curvilíneo, algo inclinado en la región frontal, aplanado en el vértex y con occipital redondeado y poco saliente. Nasio poco hundido, glabella de tipo I, crotáfites algo marcadas, pterio en H, mastoides pequeñas y poco robustas, inio mediano (tipo 2). Ortocráneo por los índices vértico y aurículo-longitudinal, mesognato por el gnático de Flower y prognato por el ángulo de Weisbach, con ligero prognatismo subnasal.

En norma anterior, la frente es estrecha, alta y algo inclinada y muestra glabella y arcos superciliares poco desarrollados. Cara estrecha y de mediana altura, resultando leptoprosopo y lepteno. Órbitas redondeadas, hipsiconcas; nariz leptorrina, con borde inferior cortante; región maxilar estrecha y malares pequeños y lisos.

En norma posterior el contorno es domiforme, con protuberancias parietales altas y poco acusadas. Metriocráneo por el índice vértico-transversal y tapinocráneo acusado por el aurículo-transversal. En norma inferior, el paladar es pequeño y poco profundo, el agujero occipital elíptico y las cavidades gle-

noideas pequeñas y poco excavadas. Conserva *in situ* el M¹ derecho y sueltas el I², M¹ y M³ izquierdos; existe reabsorción del M² y M³ derechos; las piezas restantes cayeron *post mortem*. El desgaste es intenso en M¹ (grado 3) y ligero en M³ (grado 1).

La mandíbula es mediana y robusta. Conserva *in situ* los cuatro premolares y los dos primeros molares de ambos lados, con desgaste intenso. El mentón es redondeado y poco saliente, con geni desarrolladas. Cuerpo con borde inferior rectilíneo y gonios redondeados.

En cuanto al esqueleto postcraneal, las *clavículas* están incompletas, tienen perímetro elevado y cuerpo redondeado. El *húmero* es de gran longitud y perímetro mediano, con índice de robustez pequeño y platibraquia. Del *radio* y *cúbito* se conservan escasos fragmentos.

El *fémur* es de gran longitud y elevado perímetro central, con índice de robustez mediano, pilastra fuerte y platimeria. La *tibia*, con perímetro mínimo fuerte, se clasifica en la euricnemia y el *peroné*, muy largo y robusto, posee marcadas acanaladuras. También se conservan diez fragmentos de costillas, ocho cuerpos vertebrales y parte del sacro y de ambos ilion.

L.G.-3

El individuo inhumado en la cista del lado sur del túmulo es un sujeto infantil II. Proporcionalmente, es el mejor conservado y así su cráneo figura en excelente estado.

El cráneo conserva en el maxilar los caninos y molares deciduales y los M¹, éstos con desgaste ligero (grado 1). En la mandíbula muestra los cuatro incisivos permanentes, los caninos y molares deciduales y los M₁, también con desgaste iniciado. Según el esquema de Ubelaker (1978), tendría unos 9 ± 2 años de edad. La bóveda tiene todas las suturas abiertas y muestra el aspecto típico de los cráneos infantiles (fig. 2).

El esqueleto postcraneal se conserva bastante bien. La longitud del *húmero* (213 mm.) y la del *radio* (160 mm.) indican una edad de 10,5 a 11 años, según las tablas de Stloukal y

Hanakova (1978). Dada la cifra estimada por la dentición, sería un poco alto para su edad. No hemos podido determinar su sexo.

ESTATURA Y PROPORCIONES

La estatura probable del varón del Barranco de Gómez y la de la mujer del Lomo de los Granados se ha determinado mediante las tablas de Manouvrier (1893) y fórmulas de Pearson (1899), Olivier-Tissier (1975) y Trotter-Gleser (1952 y 1958) (cuadro 6).

CUADRO NÚM. 6
DETERMINACIÓN DE LA ESTATURA (en cm.)

	B.G.-♂	L.G.-2 ♀
Manouvrier	166,5	157,2
Pearson	167,4	156,3
Olivier-Tissier*	169,9	159,1
Trotter-Glesser (Blancos)**	172,4	160,9
<i>Promedio</i>	169,1	158,5

*) Fórmulas rectificadas por Olivier y Demoulin (1976).

***) Fórmulas de 1958 para hombres y de 1952 para mujeres blancas.

El varón tiene una estatura mayor que la media general de su sexo ($\bar{X} = 165$ cm.), incluyéndose en el grupo de estaturas superiores a la media (Martin, 1957). Por el método de Pearson resulta intermedio entre la población masculina de Gran Canaria ($\bar{X} = 166,8$ cm.), obtenida por Schwidetzky (1963), y la de los túmulos de Gáldar ($\bar{X} = 172,1$ cm.), según Fusté (1961-62).

La mujer también es de estatura superior a la media de su sexo ($\bar{X} = 154$ cm.), clasificándose entre las tallas superiores a la media (Martin, 1957). Por el método de Pearson, también resulta intermedia entre la población femenina de Gran Canaria ($\bar{X} = 153,2$ cm.) y la de Gáldar ($\bar{X} = 159,1$ cm.).

Las proporciones esqueléticas de los segmentos de los miembros se han calculado con arreglo a la técnica de Martin (1957) (cuadro 7). El *índice húmero-femoral* del varón es ligeramente menor que el valor mínimo de los europeos (varones, 71,0-72,9), mientras que el de la mujer entra en el campo de variabilidad de las europeas (mujeres, 70,4-73,8). El *índice tibio-femoral* del varón también es más pequeño que el valor mínimo de los europeos (varones, 77,0-83,4), clasificándose en la braquicnemia acentuada, es decir, que la tibia es muy corta con relación al fémur, como sucede en la mayoría de los grupos europeos.

CUADRO NÚM. 7
PROPORCIONES DE LOS MIEMBROS

	B.G.-♂	L.G.-2 ♀
Índice fémoro-humeral (d)	70,79	—
Índice fémoro-humeral (i)	—	71,43
Índice fémoro-tibial (d)	75,16	—
Índice fémoro-tibial (i)	75,21	—

COMPARACIONES Y DIAGNÓSTICO TIPOLOGICO

Sólo hemos comparado, dado su nivel de conservación, los cráneos del Barranco de Gómez y Lomo de Granados 2 con las series, masculina y femenina respectivamente, de Gran Canaria (Schwidetzky, 1963). Los caracteres del cráneo masculino (fig. 3) difieren un tanto de los de la serie base, rebasando una unidad sigmática la anchura máxima, arco sagital total, porcentaje del arco occipital, índice cefálico, índice vértico-longitudinal e índice sagital occipital, si bien ninguno supera dos σ . Dado su estado de conservación, ya que le falta la cara, no podemos precisar la tipología de este ejemplar. Lo mismo podemos comentar respecto a «Los Granados 1».

El cráneo femenino (fig. 4) encaja mejor en la serie base, rebasando un σ la anchura frontal mínima, anchura bicigomática, altura nasal y los índices cefálico, transverso frontoparietal, facial superior, orbitario, nasal, goniocigomático y transverso cráneo-facial. Por sus características, sobre todo por la mesocránea, ortocránea y metriocránea, acompañadas de cara leptena, con órbitas hipsiconcas y nariz leptorrina, pertenecería al subtipo mediterráneo grácil.

PALEOPATOLOGÍA

Sobre patología máxilo-dentaria, el escaso número de piezas conservadas no presenta caries, si bien hemos señalado siete caídas *ante mortem*. El desgaste de los molares es intenso, lo que es similar a lo observado en otros sujetos de poblaciones canarias prehispanicas (García Sánchez, 1979).

El individuo del Barranco de Gómez, de edad madura, muestra señales de artrosis en la cavidad glenoidea de la escápula derecha, en la carilla articular superior del sacro y en los bordes de 11 cuerpos vertebrales de la región dorso-lumbar, donde adoptan la forma de osteofitos en corona. Asimismo, muestra indicios de artritis seca tèmpero-mandibular en la cavidad glenoidea derecha. Estas lesiones del esqueleto postcranial, junto con el fuerte desarrollo muscular observado, indican la práctica de una intensa actividad física.

De «Los Granados 1» conservamos muy poco material, y tan sólo hemos señalado la pérdida de cinco piezas dentarias en vida.

La mujer de Los Granados perdió dos piezas dentarias, muestra una pequeña área de ligera periostitis en la tibia derecha, factor que se relaciona con procesos infecciosos (Walker y Lambert, 1989), y una serie de lesiones articulares. Así, figuran señales de artrosis en cinco cuerpos vertebrales, en los cóndilos de ambos fémures y en las articulaciones sacro-iliacas. Dada la edad que le calculamos, estas lesiones indicarían la práctica de una fuerte actividad física, lo que está de acuerdo con el desarrollo muscular que presenta.

Por último, el individuo infantil muestra *cribra orbitalia* en ambos techos del grado 3 de Knipp (1971). Esta afección suele ponerse en relación con anemias ferropénicas y otros estados carenciales (Walker, 1986).

RESUMEN Y CONCLUSIONES

Se estudian los restos de un enterramiento hallado en el Barranco de Gómez (San Nicolás de Tolentino, Gran Canaria), correspondiente a un varón de edad madura, y los de tres inhumaciones en cista en el túmulo del Lomo de los Granados, del mismo municipio. Estos tres últimos son un varón y una mujer de edad adulta y un individuo infantil de una nueve años de edad.

El estado de conservación es muy deficiente y dado el reducido número de individuos no podemos profundizar en su estudio. En conjunto, los sujetos son de talla superior a la media, tienen un fuerte desarrollo muscular y tan sólo la mujer se ha podido diagnosticar como mediterránea grácil. Esta mujer y el primer varón muestran señales de artrosis, mientras el niño presenta *cribra orbitalia*.

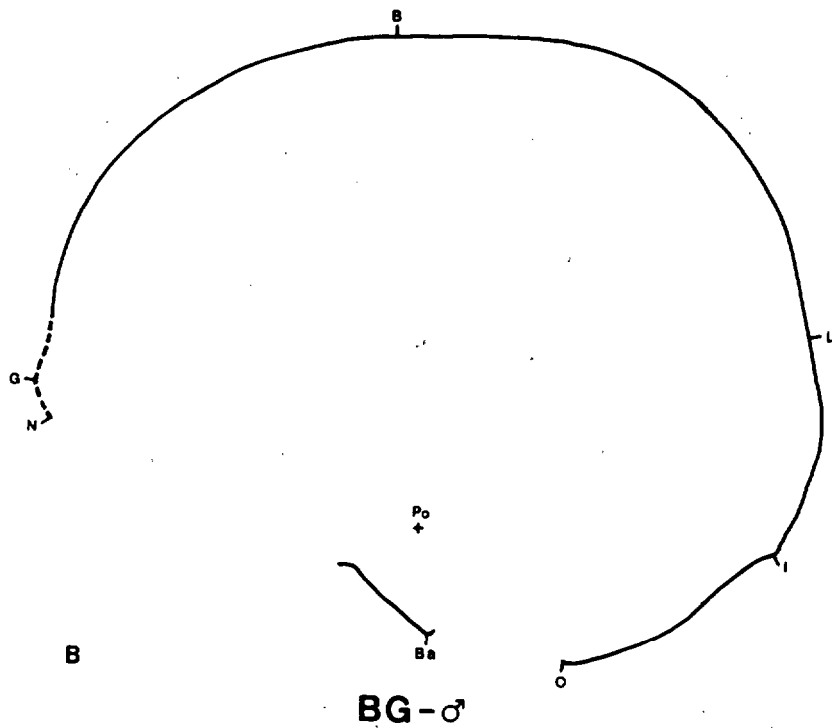
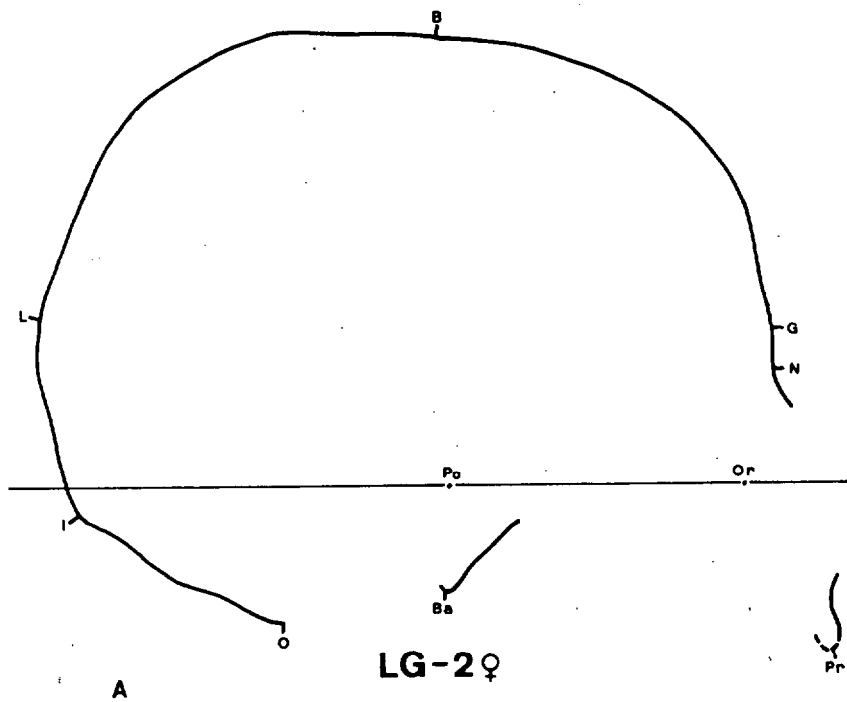


FIGURA 1

Perfil sagital de los cráneos femenino del Lomo de Los Granados y masculino del Barranco de Gómez.

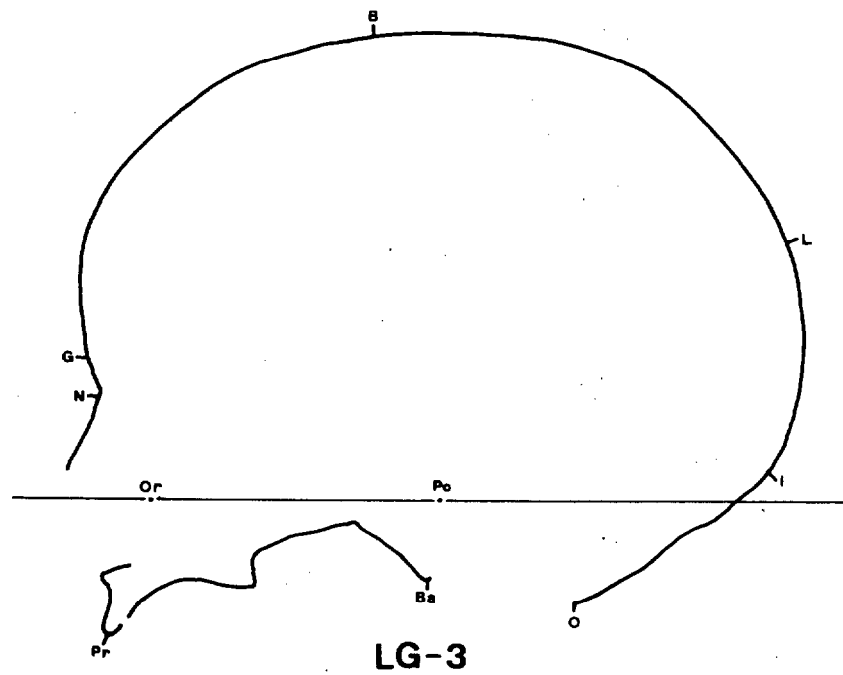
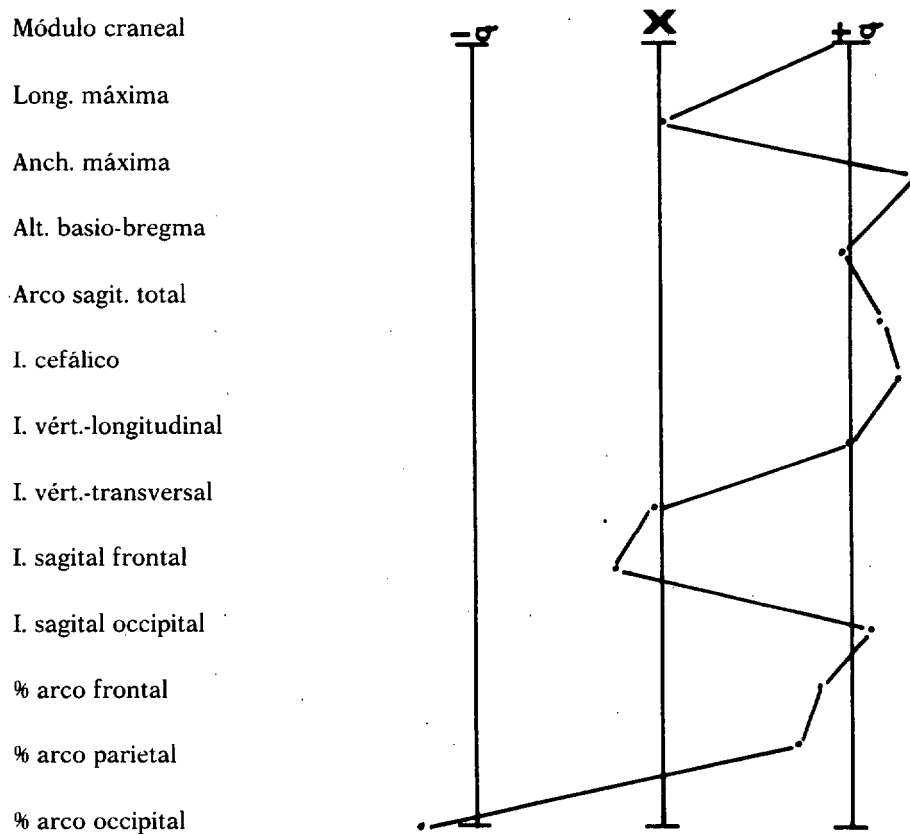
**LG-3**

FIGURA 2

Perfil sagital del cráneo infantil del Lomo de Los Granados.



Serie base: Gran Canaria ♂ (Schwidetzky, 1963)
 Barranco de Gómez ♂

FIGURA 3.—Diagrama de desviación del cráneo masculino del Barranco de Gómez.

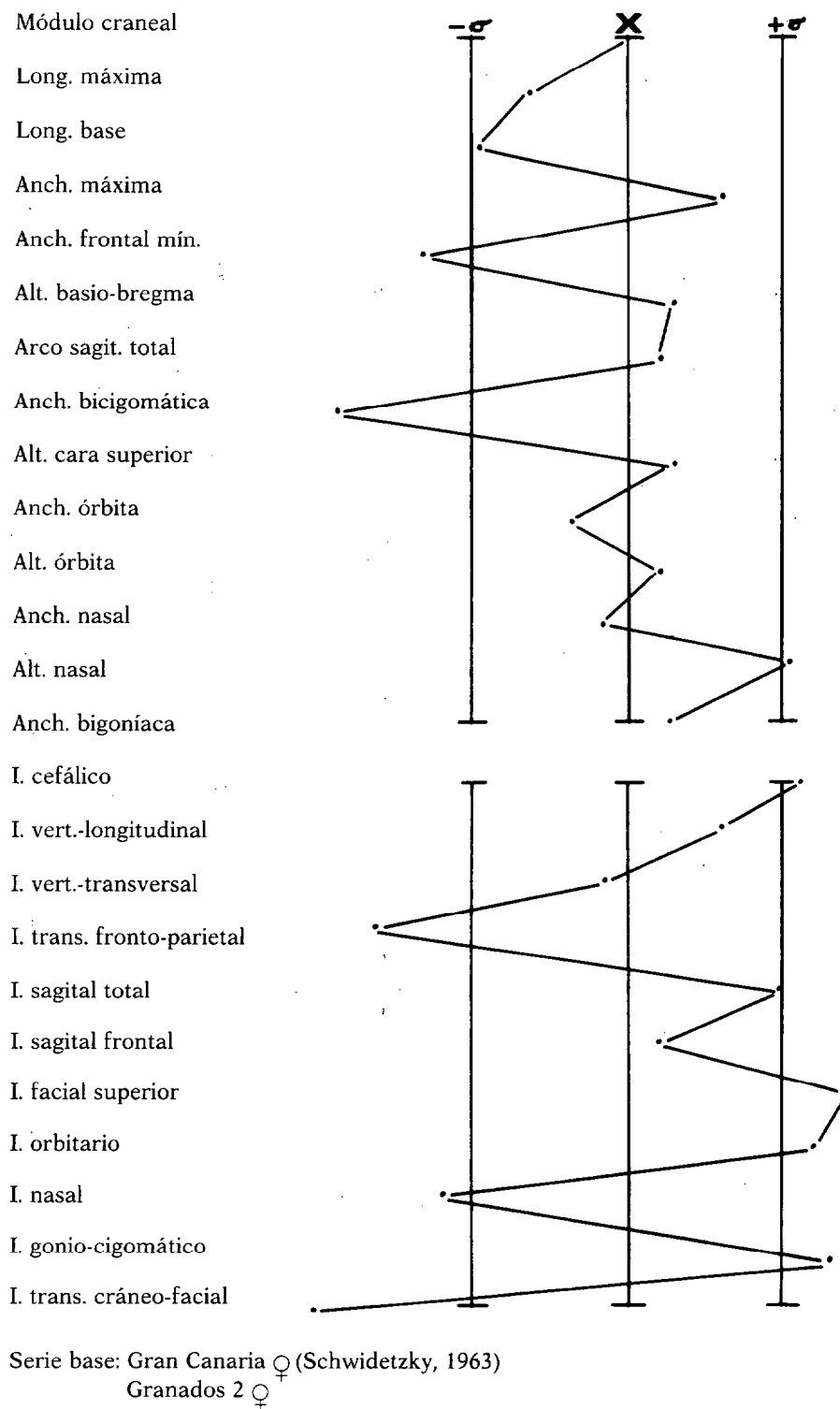


FIGURA 4.—Diagrama de desviación del cráneo femenino «Granados 2».

BIBLIOGRAFÍA

- FEREMBACH, D.; SCHWIDETZKY, I., y STLOUKAL, M. (1979): «Recommandations pour déterminer l'âge et le sexe sur le squelette», *Bull. Mém. Soc. Anthropol. Paris*, t. 6, série XIII, pp. 7-45.
- FUSTÉ ARA, M. (1961-62): «Estudio antropológico de los esqueletos inhumados en túmulos de la Región de Gáldar (Gran Canaria)», *El Museo Canario*, 77-84, p. 1-122.
- GARCÍA SÁNCHEZ, M. (1977-79): «Restos humanos procedentes del túmulo funerario del Lomo de los Caserones (Aldea de S. Nicolás, Gran Canaria)», *El Museo Canario*, XXXVIII-XL, pp. 7-46.
- (1979): «Paleopatología de la población aborigen de la cueva sepulcral de Pino Leris (La Orotava, Tenerife)», *Anuario de Estudios Atlánticos*, 25, pp. 567-584.
- GARCÍA SÁNCHEZ, M.; JIMÉNEZ GÓMEZ, M. C., y DEL ARCO AGUILAR, M. (1980): «Paleopatología en enterramientos tumulares de San Nicolás de Tolentino (Gran Canaria)», *Anuario de Estudios Atlánticos*, 26, pp. 111-122.
- KNIPP, A. S. (1971): «The frequencies of non-metrical variants in Tellem and Nokara skulls from the Mali Republic», *Proc. K. ned. Akad. Wet.*, 74, pp. 422-443.
- MANOUVRIER, L. (1893): «La détermination de la taille d'après les grands os des membres», *Mém. Soc. Anthropol. Paris*, 4, pp. 347-402.
- MARTIN, R. (1957): *Lehrbuch der Anthropologie in systematischer Darstellung*, ed. por K. SALLER, Stuttgart.
- OLIVIER, G., y TISSIER, H. (1975): «Détermination de la stature et de la capacité crânienne», *Bull. Mém. Soc. Anthropol. Paris*, 2, XIII, pp. 1-11.
- PEARSON, K. (1899): «On the reconstruction of the stature of prehistoric races», *Mathem. Contrib. Theory of Evolution*, V *Philo. Trans. of the Roy. Soc.*, serie A, t. 192, pp. 169-244.

- SCHWIDETZKY, I. (1963): *La población prehispánica de las Islas Canarias*, Public. Mus. Arqueológico, 4, Santa Cruz de Tenerife.
- STEELE, D. G., y Mc KERN, T. W. (1969): «A method for assesment of maximum long bone length and living stature from fragmentary long bones», *Am. Journ. Phys. Anthrop.*, 31, pp. 215-228.
- STLOUKAL, M., y HANAKOVA, H. (1978): «Die Länge der Längsknochen altslavischer Bevölkerungen unter besonderer Berücksichtigung von Wachstums fragen», *Homo*, 29, pp. 53-69.
- TROTTER, M., y GLESER, G. C. (1952): «Estimation of stature from long bones of american whites and negroes», *Am. Journ. Phys. Anthrop.*, 10, pp. 463-514.
- (1958): «A reevaluation of estimation of stature based on measurements of stature taken during life and of long bones after death», *Am. Journ. Phys. Anthrop.*, 16, pp. 79-124.
- UBELAKER, D. H. (1979): *Human skeletal remains. Excavation, analysis, interpretation*, Chicago.
- WALKER, Ph. (1986): «Porotic Hyperostosis in a marine-dependent California indian population», *Am. Journ. Phys. Anthrop.*, 69, pp. 345-354.
- WALKER, Ph., y LAMBERT, P. (1989): «Skeletal evidence for stress during a period of cultural change in prehistoric California», *Journal of Paleopathology*, 1, pp. 207-212.